

чения возможных механизмов изменения заряда мембраны исследовано действие блокатора кальциевых каналов финонтина (верапамила) и трифтазина — вещества, угнетающего действие кальмодулина. Как видно из табл. 3, финонтин, трифтазин и совместное применение этих препаратов вызывали значительное увеличение ЭФП эритроцитов.

Выяснение всех возможных механизмов влияния липоксигеназных метаболитов арахидоновой кислоты на поверхностный заряд мембранных эритроцитов требует дальнейшего изучения.

S. L. Sashenkov, A. L. Khshivo, N. V. Egorova,
A. S. Nekrasov, V. Z. Lankin

THE INFLUENCE OF LIPOOXYGENASE METABOLITES OF ARACHIDONIC ACIDS ON THE SURFACE CHARGE OF THE ERYTHROCYTE MEMBRANES

The influence of metabolites of arachidonic acids on the electrophoretic mobility of the rat erythrocytes has been investigated. It is found that they can increase or decrease the surface charge of the erythrocyte membranes.

Medical Institute, Ministry of Public Health
of the RSFSR, Chelyabinsk

СПИСОК ЛИТЕРАТУРЫ

1. Захаров Ю. М., Глазырина П. В., Бордуновская В. П. и др. О некоторых морфофункциональных свойствах эритроцитов акклиматизированных к теплу животных // Физиол. журн. СССР.—1986.—72, № 12.—С. 1647—1652.
2. Козинец Г. И., Зоделава М. М., Борзова Л. В., Кульман Р. А. Электрофорез клеток гомопотической ткани.—Тбилиси : Сабоца Сакартвело, 1986.—150 с.
3. Ларионов Н. П. Кальмодулин.—Томск : Изд-во Томск. ун-та, 1984.—84 с.
4. Харамоненко С. С., Ракитянская А. А. Электрофорез клеток крови в норме и патологии.—Минск : Беларусь, 1973.—143 с.
5. Bater A. I., Deeley I. O. T., Pritchard J. A. V. An evaluation of a video image correlation technique for the estimation of electrophoretic mobilities of human blood cells // Electrophoresis'83.—Berlin; New York.—1984.—P. 301—308.
6. Seaman J. V. F. Electrokinetic behavior of red cells // Red blood cell.—New York etc.: Acad. press., 1979.—P. 1145—1229.

Челябин. мед. ин-т
М-ва здравоохранения РСФСР

Материал поступил
в редакцию 15.07.88

УДК 612.015.6:539.227

В. А. Элькина, А. Я. Розанов

Динамика поглощения ^{14}C -биотина клетками крови и связывание белками плазмы в онтогенезе

Биохимические функции биотина (его участие в карбоксилировании и синтезе жирных кислот) достаточно изучены, однако практически не известны механизмы его транспорта в животном организме, поступления в клетки крови и проникновения через клеточные мембранные и гистогематические барьеры. Также совершенно не изучены возрастные особенности транспорта биотина в клетки и ткани высших организмов. Только для микроорганизмов (*Lactobacillus arabinosus* и *Saccharomyces cerevisiae*) показано существование активного транспорта этого витамина [8, 10]. На клетках *E. coli* (штамм K-12 (Y10-1), не нуждающийся в биотине) обнаружены регуляторные механизмы транспортной системы биотина по типу репрессии [9].

Цель нашей работы — изучение возрастных особенностей транспорта биотина *in vitro* в клетки крови и роли белков плазмы в этом процессе.

Методика

Исследование проведено *in vitro* групп: I группа — молодые (2—10 мес, масса 150—280 г); III — взрослых декапитировали, кровь (1:3) с добавлением гепаринизации и стабилизации форм во меченого по углероду каршама (Великобритания), кото 1 мкмоль, что сопоставимо с После инкубации при температуре пробы по 1 мл и разделяли фракции 5 000 g). Белки плазмы из концентрации 80% с последующими осадками белков и клеток 0,5 мл (около 15 мг плотного цельной крови.

В специальных экспериментах очищенную фракцию лейкоцитов [4, 7] и изучали динамику поглощений растворе при том же конечно-лейкоцитов использовали кровь.

Радиоактивность всех образцов плазмы подсчитывали на газорадиоактивных фильтров поглощения β -излучения [5] с использованием карбоната в крови *in vitro* в данных титром на бумаге в системе струйно-радиоактивного излучения.

Результаты и их обсуждение

Значительная часть ^{14}C -биотина: при добавлении его 2,5 до 27% этого витамина 38,6% — с форменным повышается с увеличением возрастом для I и III возрастного поглощения ^{14}C -биотина лягушек 61% у молодых животных метки связывается уже плазмы крови молодых ^{14}C -биотина, чем белки косвенным доказательством кровь при старении и, с возрастом функции. Одна из общих метки через младших возрастных групп медленнее способность плазмы.

Для обеих исследуемых в трех возрастных группах связывания ^{14}C -биотина. животных (I группа) через поглощение ^{14}C -биотина и половозрелых животных в сторону более пик поглощения ^{14}C -биотина плазмы и клеток крови соответствует 15 и 30 мин для I и

заряда мембранны исследований финоптина (верапамила) действие кальмодулина. Как совместное применение этих веществ ЭФП эритроцитов.

Влияния липоксигеназных

верхностный заряд мембранны

и отходящий от мембранных

клеток витамины ПФБ и

концепции кинескотон

LITES OF ARACHIDONIC ACIDS

TE MEMBRANES

the electrophoretic mobility of the
if they can increase or decrease the

показания для применения

шага в США

Методика

Исследование проведено *in vitro* на 98 крысах-самцах линии Вистар трех возрастных групп: I группа — молодые (2 мес, масса 75—100 г); II группа — половозрелые (4—10 мес, масса 150—280 г); III группа — старые (около 24 мес, масса 300—360 г). Животных декапитировали, кровь от одной крысы разводили физиологическим раствором (1 : 3) с добавлением гепарина (1 ЕД/мл цельной крови) для предотвращения свертывания и стабилизации форменных элементов [3]. Затем добавляли такое количество меченного по углероду карбонильной группы биотина (^{14}C -биотин, фирма «Атчест-шам», Великобритания), которое дало бы его окончательное содержание в крови 1 мкмоль, что сопоставимо с естественным содержанием биотина в крови крыс [2]. После инкубации при температуре 37 °С в течение 5, 15, 30, 60, 120 и 240 мин отбирали пробы по 1 мл и разделяли форменные элементы и плазму центрифугированием (5 мин, 5 000 $\times g$). Белки плазмы из каждой пробы осаждали холодным этианолом в конечной концентрации 80 % с последующим промыванием 80 %-ным этианолом, спирты объединяли, осадки белков и клеток крови растворяли в 0,01 н NaOH, наносили на мишени по 0,5 мл (около 15 мг плотного вещества на мишель). Расчет производили на 100 мл цельной крови.

В специальных экспериментах разделяли клетки крови крыс, выделяли эритроциты и очищенную фракцию лейкоцитов методом свободной седиментации в желатине [1, 4, 7] и изучали динамику поглощения ^{14}C -биотина этими клетками в физиологическом растворе при том же конечном содержании ^{14}C -биотина (1 мкмоль). Для выделения лейкоцитов использовали кровь, взятую у крыс II возрастной группы.

Радиоактивность всех образцов цельной крови, лейкоцитов, эритроцитов и белков плазмы подсчитывали на газопроточном счетчике 2154-1-1М «Протокас» с учетом коэффициентов поглощения β -излучения. Полученные результаты обрабатывали статистически [5] с использованием критерия t Стьюдента и Фишера. Трансформация ^{14}C -биотина в крови *in vitro* в данных условиях была проверена радиохроматографическим методом на бумаге в системе *n*-бутанол — уксусная кислота — вода (12 : 3 : 5 соответственно).

Результаты и их обсуждение

Значительная часть ^{14}C -биотина в крови находится в связанном состоянии: при добавлении его в кровь в физиологической концентрации от 2,5 до 27 % этого витамина связывается с белками плазмы и от 3,25 до 38,6 % — с форменными элементами крови. Связывание ^{14}C -биотина повышается с увеличением времени инкубации, что в особенности характерно для I и III возрастных групп животных. Максимум суммарного поглощения ^{14}C -биотина клетками и белками плазмы крови составляет 61 % у молодых животных (у старых — 27 %), при этом до 50 % метки связывается уже через 15 мин инкубации (таблица). Белки плазмы крови молодых животных связывают в 2—5 раз больше ^{14}C -биотина, чем белки плазмы крови старых животных, что является косвенным доказательством замедления обновления белков плазмы крови при старении и, следовательно, снижения с возрастом их транспортной функции. Однако в клетках крови старых животных накопление общей метки через 240 мин инкубации почти достигает уровня младших возрастных групп. Таким образом, у старых животных замедляется способность поглощения ^{14}C -биотина клетками крови из плазмы.

Для обеих исследуемых фракций крови (клеток и белков плазмы) во всех трех возрастных группах наблюдалась двухфазная динамика связывания ^{14}C -биотина. Включение метки максимально у молодых животных (I группа) через 30 мин инкубации. У старых крыс (III группа) поглощение ^{14}C -биотина замедлено по сравнению с таковыми молодых и половозрелых животных, и пики максимумов радиоактивности сдвинуты в сторону более поздних сроков. В частности, в III группе первый пик поглощения ^{14}C -биотина отмечен через 30 и 60 мин (для белков плазмы и клеток крови соответственно), а второй — через 240 мин, против 15 и 30 мин для I группы и 15 мин — для II группы (первый пик

Распределение общей метки добавленного к крови крыс ^{14}C -биотина (1 мкмоль) на форменные элементы и белки плазмы ($M \pm m$)

Фракция инкубационной среды	Время инкубации		
	5 мин	15 мин	30 мин

I. Молодые животные (30 крыс)			
Форменные элементы			
нмоль/100 мл	28,12 \pm 1,6**	32,58 \pm 1,24**	36,67 \pm 1,61**
% добавленной дозы	29,6	34,3	38,6
Белки плазмы			
нмоль/100 мл	18,89 \pm 2,42**	25,47 \pm 0,06**	14,92 \pm 1,76**
% добавленной дозы	19,88	26,81	15,7
Свободный ^{14}C-биотин			
нмоль/100 мл	47,99 \pm 4,0**	36,95 \pm 1,3**	43,41 \pm 5,1**
% добавленной дозы	50,52	38,9	45,7

II. Половозрелые животные (44 крысы)

Форменные элементы			
нмоль/100 мл	9,07 \pm 0,5	16,98 \pm 0,68	9,45 \pm 1,02
% добавленной дозы	9,55	17,9	9,95
Белки плазмы			
нмоль/100 мл	5,66 \pm 0,31	10,07 \pm 0,6	4,3 \pm 0,23
% добавленной дозы	5,96	10,6	4,53
Свободный ^{14}C-биотин			
нмоль/100 мл	80,27 \pm 0,76	67,95 \pm 1,3	81,24 \pm 1,25
% добавленной дозы	84,49	71,5	85,52

III. Старые животные (24 крысы)

Форменные элементы			
нмоль/100 мл	10,11 \pm 1,2	8,54 \pm 1,1**	7,49 \pm 0,75**
% добавленной дозы	10,64	8,9	7,9
Белки плазмы			
нмоль/100 мл	6,0 \pm 1,1	4,74 \pm 0,04**	6,55 \pm 0,57**
% добавленной дозы	6,32	4,9	6,9
Свободный ^{14}C-биотин			
нмоль/100 мл	78,89 \pm 2,32	81,72 \pm 1,4**	80,95 \pm 1,32**
% добавленной дозы	83,04	86,03	85,2

Фракция инкубационной среды	Время инкубации		
	60 мин	120 мин	240 мин

I. Молодые животные (30 крыс)			
Форменные элементы			
нмоль/100 мл	27,85 \pm 1,66**	31,68 \pm 2,18**	23,75 \pm 0,3*
% добавленной дозы	29,31	33,35	25,0
Белки плазмы			
нмоль/100 мл	18,15 \pm 1,7*	9,42 \pm 1,2**	14,25 \pm 0,2*
% добавленной дозы	19,1	9,91	15,0
Свободный ^{14}C-биотин			
нмоль/100 мл	49,01 \pm 3,37**	53,9 \pm 3,4**	57,0 \pm 2,4*
% добавленной дозы	51,59	56,74	60,0

II. Половозрелые животные (44 крысы)

Форменные элементы			
нмоль/100 мл	8,21 \pm 1,04	12,64 \pm 1,33	7,02 \pm 1,16
% добавленной дозы	8,64	13,3	7,39
Белки плазмы			
нмоль/100 мл	3,4 \pm 0,68	4,8 \pm 0,18	3,09 \pm 0,6
% добавленной дозы	3,6	5,05	3,25
Свободный ^{14}C-биотин			
нмоль/100 мл	83,37 \pm 1,7	77,57 \pm 1,5	84,89 \pm 1,76
% добавленной дозы	87,76	81,65	89,36

Фракция инкубационной

Фракция инкубационной

Форменные элементы
нмоль/100 мл
% добавленной дозы

Белки плазмы
нмоль/100 мл
% добавленной дозы

Свободный ^{14}C -биотин
нмоль/100 мл
% добавленной дозы

П р и м е ч а н и е . Д о с т о в е р н ы х по сравнению с таков

радиоактивности) и 1
Это свидетельствует о
спортной) функции бе
и является, возможно
крови в их органы.

В исследований,
и эритроцитов, обнару
ного биотина через 5
поглощают в 7—20 раз
миллион клеток). Не
 ^{14}C -биотина неразделен
радиоактивности) и 1
ными фракциями (три
диоактивности) обусловл
первых, лишь частичн
лированием изучаемого
в среде, лишенной ме
ственных компонентов.
во-вторых, неоднородн
вом эритрона (а также
цитарным составом к

Динамика поглощения ^{14}C -биотина
кубационной среды (3'
1 мкмоль ^{14}C -биотина), лейкоцитов
и эритроцитами (2) крови
нмоль/10⁶ клеток.

Таким образом, поглощени
 ^{14}C -биотина (аналогично
вторых этот факт хо
тельствует о наличии и
и специфических меха
тилизависимых фермент

Трансформация ^{14}C -биотина
(за 15—60 мин инкуба
пидов плазмы выявлен
таковому исходного ^{14}C -биотина.

ыс ^{14}C -биотина (1 мкмоль)

Время инкубации		
15 мин	30 мин	

крыс)		
32,58±1,24**	36,67±1,61**	
34,3	38,6	
25,47±0,06**	14,92±1,76**	
26,81	15,7	
36,95±1,3**	43,41±5,1**	
38,9	45,7	
44 крысы)		
16,98±0,68	9,45±1,02	
17,9	9,95	
10,07±0,6	4,3±0,23	
10,6	4,53	
67,95±1,3	81,24±1,25	
71,5	85,52	
крысы)		
8,54±1,1**	7,49±0,75**	
8,9	7,9	
4,74±0,04**	6,55±0,57**	
4,9	6,9	
81,72±1,4**	80,95±1,32**	
86,03	85,2	

Время инкубации		
120 мин	240 мин	

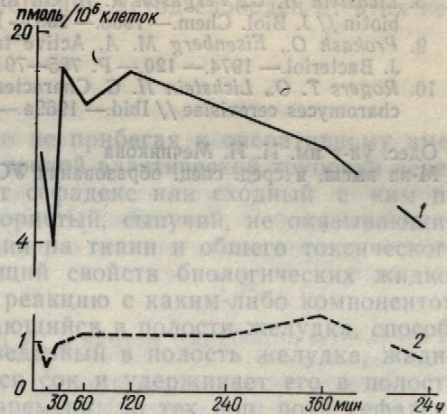
крыс)		
31,68±2,18**	23,75±0,3*	
33,35	25,0	
9,42±1,2**	14,25±0,2*	
9,91	15,0	
53,9±3,4**	57,0±2,4*	
56,74	60,0	
44 крысы)		
12,64±1,33	7,02±1,16	
13,3	7,39	
4,8±0,18	3,09±0,6	
5,05	3,25	
77,57±1,5	84,89±1,76	
81,65	89,36	

Фракция инкубационной среды	Время инкубации		
	60 мин	120 мин	240 мин
III. Старые животные (24 крысы)			
Форменные элементы			
нмоль/100 мл	8,57±1,5*	5,30±1,24*	18,11±0,34*
% добавленной дозы	9,02	10,81	19,06
Белки плазмы			
нмоль/100 мл	2,37±0,34**	3,29±0,05*	8,21±4,13*
% добавленной дозы	2,5	3,47	8,64
Свободный ^{14}C -биотин			
нмоль/100 мл	84,05±1,86**	86,4±1,28*	68,69±4,47*
% добавленной дозы	88,5	85,7	72,3

Примечание. Достоверность различий значений показателей половозрелых животных по сравнению с таковыми животных других возрастных групп: *P<0,05; **P<0,01.

радиоактивности) и 120 мин (второй пик) для I и II групп животных. Это свидетельствует об ослаблении связывающей (а, возможно, и транспортной) функции белков плазмы и клеток крови у старых животных и является, возможно, причиной замедления поступления биотина из крови в их органы.

В исследованиях, проведенных на очищенных фракциях лейкоцитов и эритроцитов, обнаружилась трехфазная динамика поглощения меченого биотина через 5, 30 и 120 мин (рисунок), причем лейкоциты поглощают в 7—20 раз больше метки, чем эритроциты (в пересчете на миллион клеток). Некоторое несовпадение динамики поглощения ^{14}C -биотина неразделенными форменными элементами крови (два пика радиоактивности) и их очищенными фракциями (три пика радиоактивности) обусловлено, во-первых, лишь частичным моделированием изучаемого процесса в среде, лишенной многих естественных компонентов крови, а во-вторых, неоднородным составом эритрона (а также и лейкоцитарным составом крови).



Динамика поглощения ^{14}C -биотина из инкубационной среды (37°C , 15 мин, 1 мкмоль ^{14}C -биотина), лейкоцитами (1) и эритроцитами (2) крови крыс *in vitro*, нмоль/10⁶ клеток.

Таким образом, подтверждается фазовая динамика связывания ^{14}C -биотина (аналогично другим водорастворимым витаминам, для которых этот факт хорошо известен [6]), что, по всей вероятности, свидетельствует о наличии неспецифических (первый пик радиоактивности) и специфических механизмов транспорта этого витамина в составе биотинзависимых ферментов и биотинсвязывающих белков.

Трансформация ^{14}C -биотина в крови *in vitro* в данных условиях (за 15—60 мин инкубации) не обнаружена. В крови после удаления липидов плазмы выявлен только один пик радиоактивности, идентичный таковому исходного ^{14}C -биотина.

**ABSORPTION DYNAMICS OF ^{14}C -BIOTIN BY THE BLOOD CELLS AND BINDING
BY PLASMA PROTEINS IN ONTOGENESIS**

Age peculiarities of absorption of ^{14}C -biotin by the blood cells and plasma proteins in vitro are studied. The phase dynamics of ^{14}C -biotin absorption by the blood cells and binding by plasma proteins is found. The reliable ontogenetic differences in absorption of ^{14}C -biotin by the blood cells and plasma proteins are determined. The biotin-binding in vitro by the blood cells and plasma proteins decreases and becomes slower in old rats as compared with young ones.

1. I. Mechnikov University, Ministry of Higher and Secondary Special Education of the Ukrainian SSR, Odessa

СПИСОК ЛИТЕРАТУРЫ

1. Емешина Л. И. Микрометод лейкоконцентрации // Лаб. дело.—1966.—№ 3.— С. 169—170.
2. Западнюк И. П., Западнюк В. И., Захария Е. А., Западнюк Б. В. Лабораторные животные. Разведение, содержание, использование в эксперименте.—Киев : Виц. шк., 1983.—383 с.
3. Казначев В. П., Пестовская Л. Г., Скальская Е. А. Изучение гемолиза эритроцитов в связи с влиянием гепарина // Вопросы биофизики, биохимии и патологии эритроцитов.—Красноярск, 1960.—С. 251—256.
4. Луценко И. С., Сейц Й. Ф. Методы выделения лейкоцитов и тромбоцитов из крови человека // Лаб. дело.—1967.—№ 9.—С. 521—526.
5. Мерков А. М. Общая теория и методика санитарно-статистического исследования.—М., 1969.—224 с.
6. Розанов А. Я. Фазовая динамика метаболизма в печени коферментных витаминов, ее механизмы и биологическое значение // Витамины.—Вып. IX.—Киев : Наук. думка, 1976.—С. 34—42.
7. Слизовска К. С. Взаимодействие витаминов в организме при связывании ^{35}S -липоата тканями, клетками и белками крови: Автореф. дис. ... канд. биол. наук.—Одесса, 1976.—28 с.
8. Lichstein H. C., Ferguson R. B. On the permeability of *Lactobacillus arabinosus* to biotin // J. Biol. Chem.—1958.—233.—P. 243—244.
9. Prakash O., Eisenberg M. A. Active transport of biotin in *Escherichia coli* K-12 // J. Bacteriol.—1974.—120.—P. 785—791.
10. Rogers T. O., Lichstein H. C. Characterization of the biotin transport system in *Saccharomyces cerevisiae* // Ibid.—1969a.—100.—P. 557—564.

Одес. ун-т им. И. И. Мечникова
М-ва высш. и сред. спец. образования УССР

Материал поступил
в редакцию 16.05.89

Методики

УДК 612.02 (088.8)

И. А. Франков, Т. Н. Сокол

Новая методика по: желудочного сока у

Получение в физиологическом количестве желудка мелких животных определенными трудно и животных, и их желудок методами, неотъемлемое вмешательство, предшествующее. Это относится пищеварительного сока, которые рассчитаны на [1, 3]. Наркотические гипнотические вмешательства искажают работу нейронов пищеварительных реций сока и его состава.

Предлагаемый в нас не имеет недостатков.

Описание метода

Сущность метода состоит в том, что в желудок животному пищевод в полость же своим свойствам материала местного повреждающее влияния на организм, не вступающий в пищеварительного сока быстро набухает, впитывает постепенно в желудка в течение не превратится в гель, в кишечник. Это свойства собирать в полость через определенный вместе с сефадексом.

Для воспроизведен

и материалы: шприц, элегко ее вводить в желудок. Технология получения животных проста и состоит в том, что трубочки срезают под углом. Заполняют трубкой конца приблизительно в случае во время сефадекса, находящегося

Физиол. журн., 1990, т. 36, № 3